



Доклинические модели для оценки эффективности противоопухолевых препаратов

к.м.н. Панченко А.В.

Санкт-Петербург 19 сентября 2019 года

права принадлежат НМИЦ онкологии им. Н.Н. Петрова

ИСТОРИЯ ОНКОЛОГИИ

© Коллектив авторов, 2011 УДК 616-006(091) Вопросы опкология, 2011, том 57, № 1

В.Н. Анисимов, М.А. Забежинский, И.Г. Попович

К 85-ЛЕТІЮ СОЗДАНІЯ ПЕРВОЙ ОТЕЧЕСТВЕННОЙ ЭКСПЕРИМЕНТАЛЬНО-ОНКОЛОГИЧЕСКОЙ ЛАБОРАТОРИИ

ФГУ НИИ онкологии им. Н.Н.Петрова Минздравсоцразвития РФ, Санкт-Петербург

Светлой памяти Н.Н.Петрова, Н.А.Кроткиной и Н.П.Напалкова посвящается

В 2011 г. исполняется 85 лет с момента основания старейшей отечественной лаборатории, занимающейся изучением причин возникновения и закономерностей развития опухолей в условиях эксперимента. Она была создана проф. Н.Н.Петровым в 1926 г. при организации Института онкологии на базе больницы им. И.И.Мечникова в Ленинграде [24, 29]. Лаборатория возникла не случайно. По воспоминаниям Л.М.Шабада [49], первые исследования по экспериментальному изучению дегтярного рака в нашей стране были начаты в Петрограде ещё в 1920 г. одновременно в двух лабораториях -Н.Н.Петрова и Г.В.Шора. В 1-м Медицинском институте в лаборатории при кафедре госпитальной хирургии, которой заведовал Н.Н.Петров, он вместе со своей помощницей - ассистенткой клиники Н.А.Кроткиной провел первые в России опыты со смазыванием каменноугольной смолой ушей кроликов и подтвердил результаты японских исследователей Ямагивы и Ичикавы [24].

На протяжении многих лет лаборатория подвергалась организационным изменениям и не раз



Член-корреспондент АН СССР, академик АМН СССР Николай Николаевич Петров (1876–1964).



Проф. Н.А. Кроткина

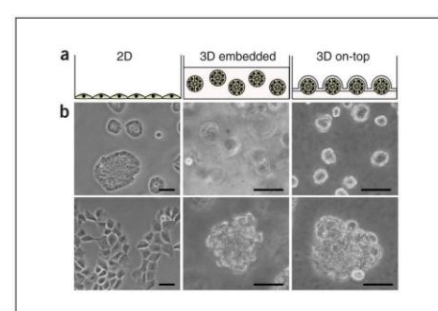




Научная лаборатория канцерогенеза и старения

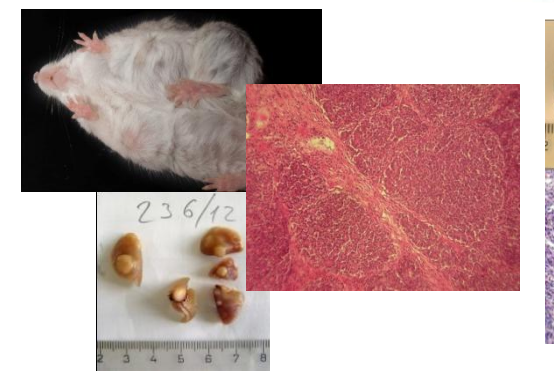
Доклинические модели в онкологии

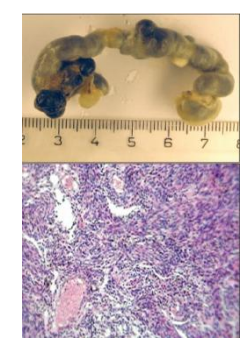
- Клеточные культуры (2D, 3D)
- Danio rerio модельный объект экспериментальной онкологии
- Модели перевиваемых опухолей у крыс и мышей (сингенные, ксенотрансплантатные, генно-модифицированные опухоли)
- Спонтанные опухоли у крыс и мышей
- Модели индуцируемых опухолей у крыс и мышей
- Модели опухолей у генетически модифицированных мышей (GEMM Genetically engineered mouse models)



Nature Methods volume 4, pages 359–365 (2007)









ОПУХОЛИ У РЫБ

Danio rerio - модельный объект экспериментальной онкологии

Аквариумный комплекс



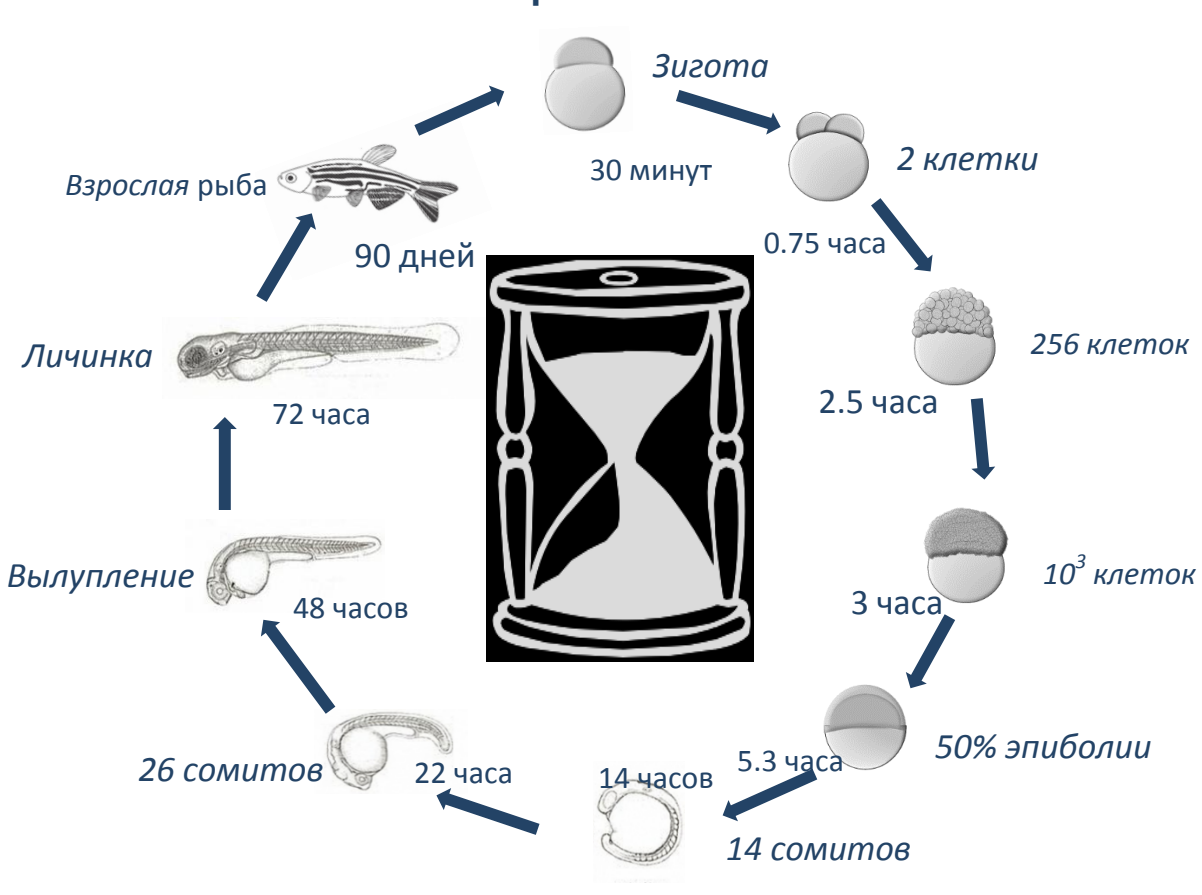






Мизгирев И.В., научная лаборатория канцерогенеза и старения

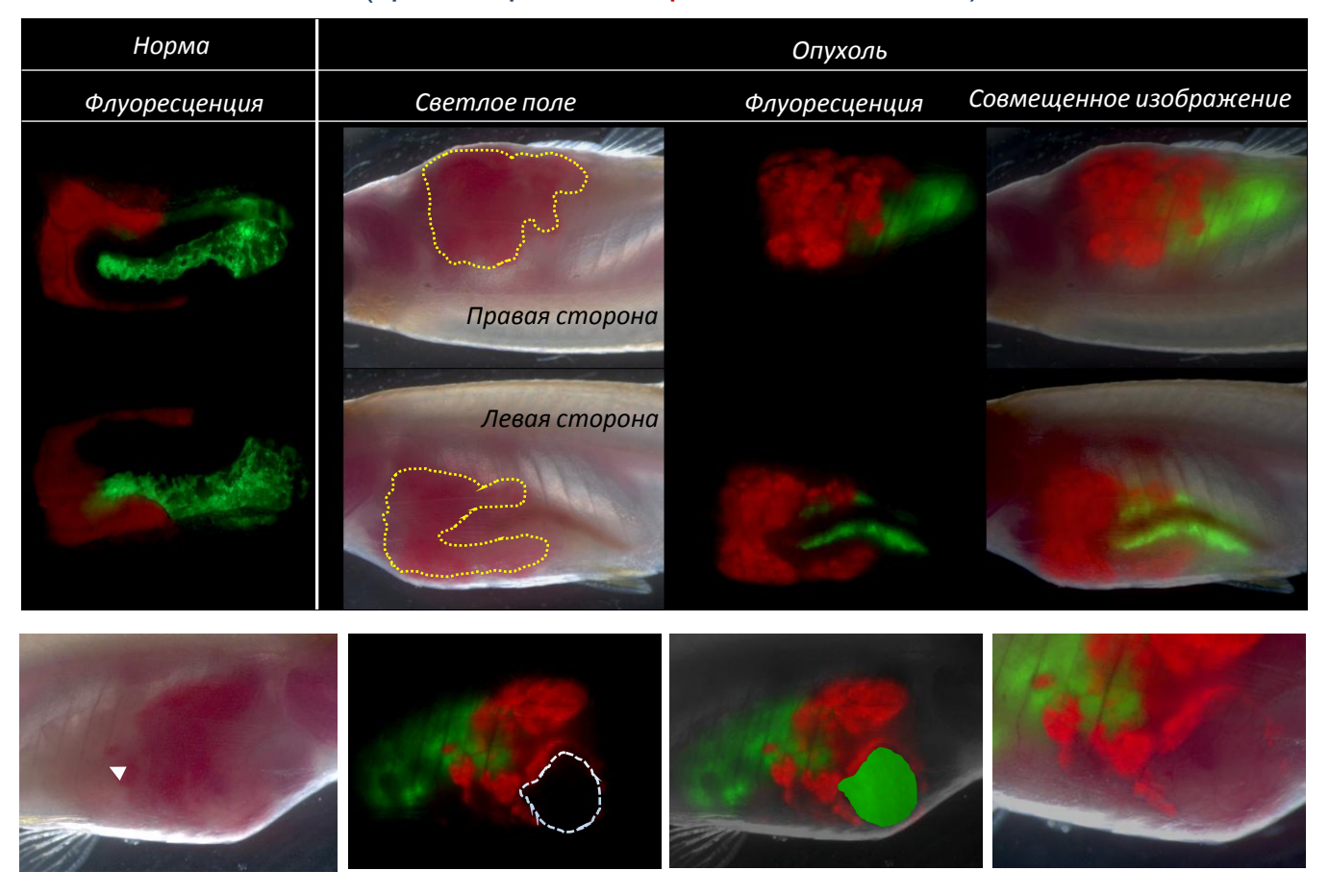
Жизненный цикл Danio rerio



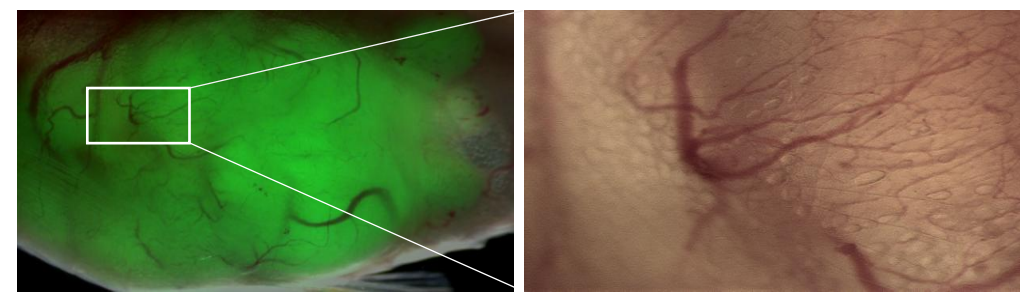


Гепатоцеллюлярная карцинома, индуцированная ДЭНА

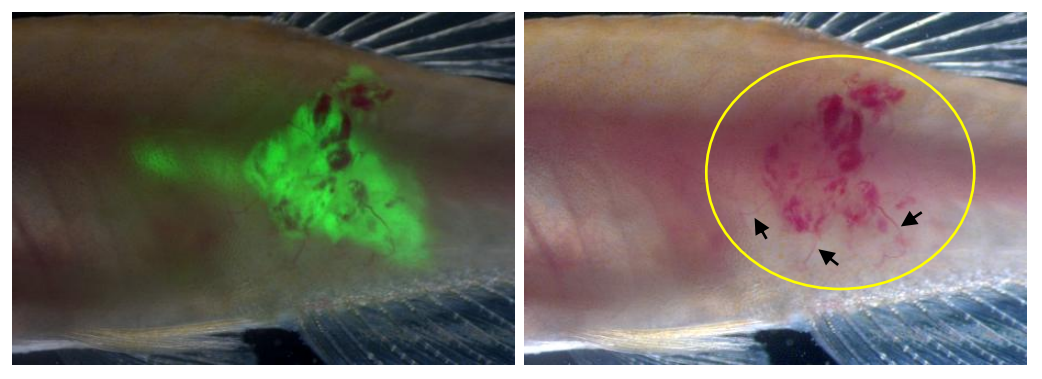
(транспарентная трансгенная линия)



Рабдомиосаркома визуализация ангиогенеза в опухоли



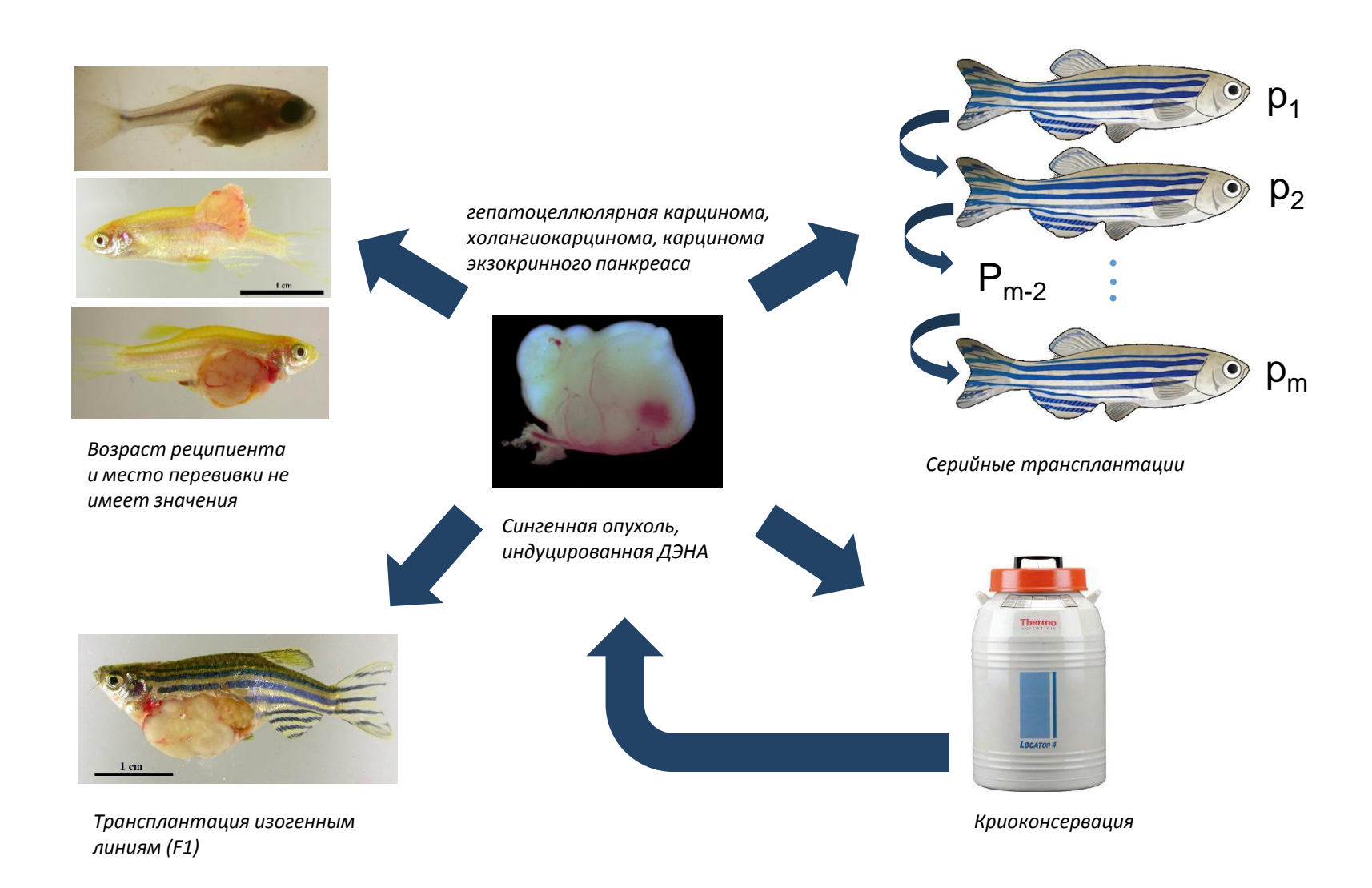
Нормальный рост сосудов в опухоли после і.р. трансплантации



Аномальный рост сосудов в опухоли после s.c. трансплантации



Трансплантации опухолей клональным рыбам





Модели перевиваемых опухолей у крыс и мышей

Крысы:

Карциносаркома Уокера-256 Лимфосаркома Плисса ОЯ – карцинома яичника Карцинома Герена Гепатома Зайделя Глиома С6

Мыши:

HER2 - карцинома молочной железы

Карцинома Эрлиха

LLC – карцинома легкого Льюис

L-1210 – лейкоз

Р388 - лейкоз

Sa-180 — саркома-180

В16 - меланома

А-755 – рак молочной железы

Гепатома-27

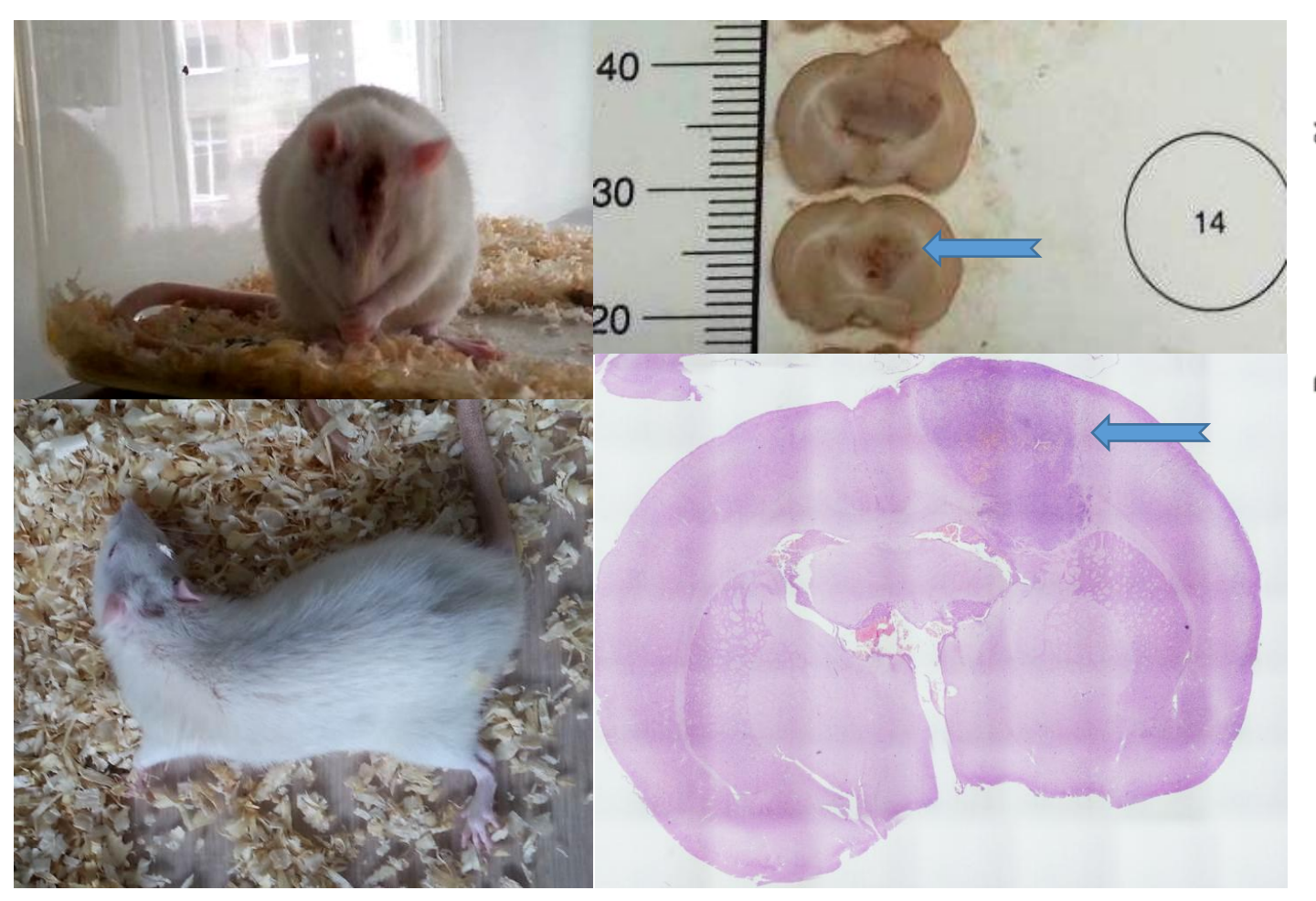
Гепатома-22

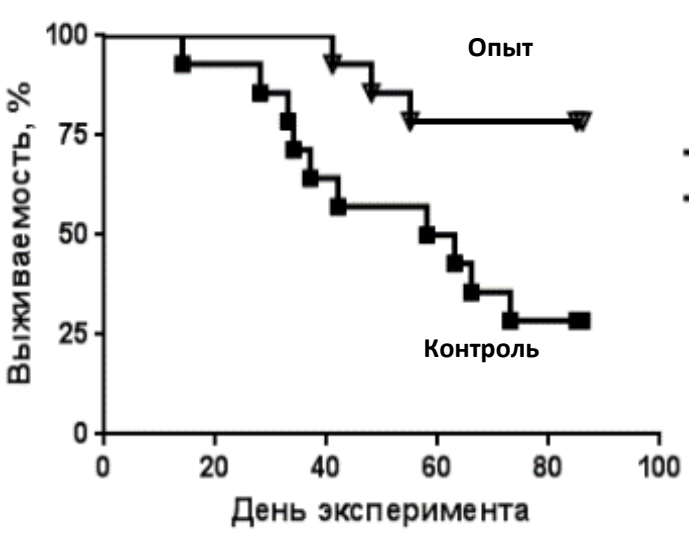
АКАТОЛ – аденокарцинома толстой кишки

РШМ-5 – рак шейки матки



Ортотопическая трансплантация глиомы C6





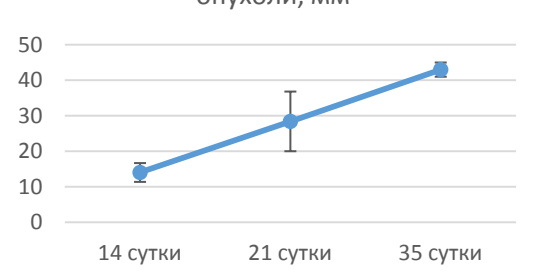
TPO=124 %



Гетеротопическая трансплантация опухоли VX2 в печень у кроликов



Средний линейный размер опухоли, мм



ОРИГИНАЛЬНЫЕ СТАТЬИ

Б. Экспериментальные исследования

©Коллектив авторов, 2017 УДК 616.36-006 Вопросы онкологии, 2017. Том 63, № 5

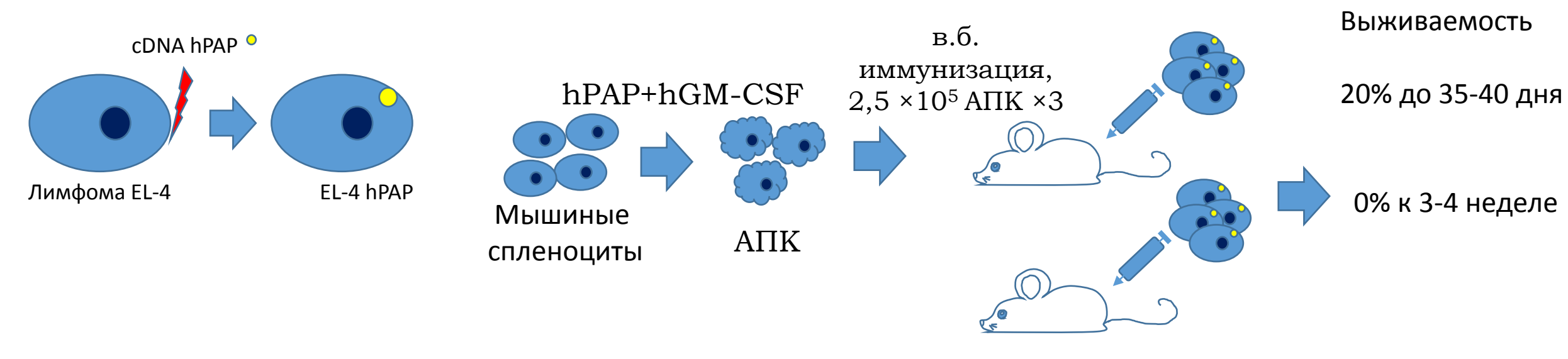
А.В. Панченко l , Е.А. Плахо l , Е.А. Губарева l , К.С. Хитрин 2 , Л.С. Гузеватых 2 , В.Ю. Балабаньян 2

Моделирование солидного рака печени у кролика

¹ ФГБУ «НИИ онкологии им. Н.Н. Петрова» Минздрава России, Санкт-Петербург, ² ООО «Технология лекарств», Московская область

Доклиническая модель для оценки вакцины Провенж (Provenge) для персонализированной иммунотерапии рака простаты

Провенж – вакцина на основе аутологичных АПК, полученных из мононуклеаров крови, активированная рекомбинантным гибридным белком PA2024, состоящим из фосфатазы PAP и GM-CSF.



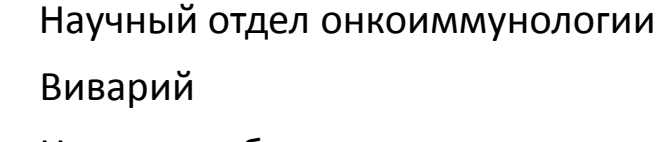
Из-за видовой специфичности для оценки иммуногенности была также создана аналогичная молекула для грызунов: rPAP+rGM-CSF и hPAP+mGM-CSF.

Не иммунизированные мыши

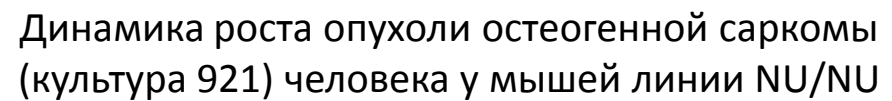
Стоимость курса лечения \$ 141 000 https://ru.wikipedia.org/wiki/Провенж

Моделирование опухолей человека у иммунодефицитных мышей

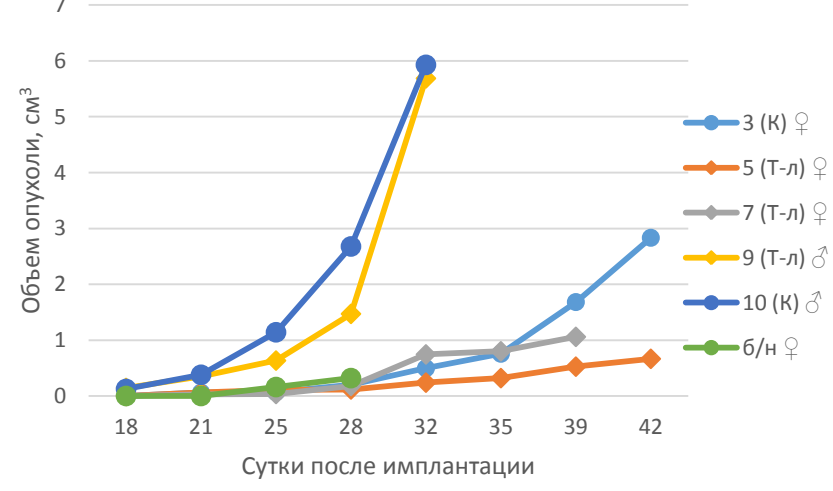
№ культуры		N клеток	Пол	Опухоль	Рост опухоли in vivo
1	921	2,5x10 ⁶	3/2	остеогенная саркома	+/-
	921	5x10 ⁶	2	остеогенная саркома	+
2	924	2,8x10 ⁶	8	миксофибросаркома	-
3	967	1,6x10 ⁶	8	хондросаркома	-
4	976	1,3x10 ⁶	8	шванома	-
5	971	2,1x10 ⁶	8	лейомиосаркома	-
6	961	2,3x10 ⁶	8	липосаркома	-
7	927	2,7x10 ⁶	8	альвеолярная саркома	-
8	716	2,9x10 ⁶	8	синовиальная саркома	-
9	520	$3,1x10^6$	8	меланома	-
	520	5x10 ⁶	2	меланома	-
10	226	5x10 ⁶	8	меланома	+
11	512	5x10 ⁶	\$	рак молочной железы	+



Научная лаборатория канцерогенеза и старения







Сотрудничество:

Институт экспериментальной медицины ФГБУ «НМИЦ им. В. А. Алмазова» Минздава России



Модели опухолей у генетически модифицированных мышей

Влияние постоянного освещения и мелатонина на развитие аденокарцином молочной железы у мышей FVB трансгенных по *HER-2/neu*

Группа	N	Мышей с ОМЖ	Размер опухоли, см	ОМЖ / мышь
LD	30	23 (77%)	1,9	3,3
LL-300 лк	28	20 (71%)	1,8	5,2*
LL-2500 лк	38	19 (96%)	2,9*	4,8*
LL + MT	22	13 (59%)	1,3*	3.5*

* P < 0.05

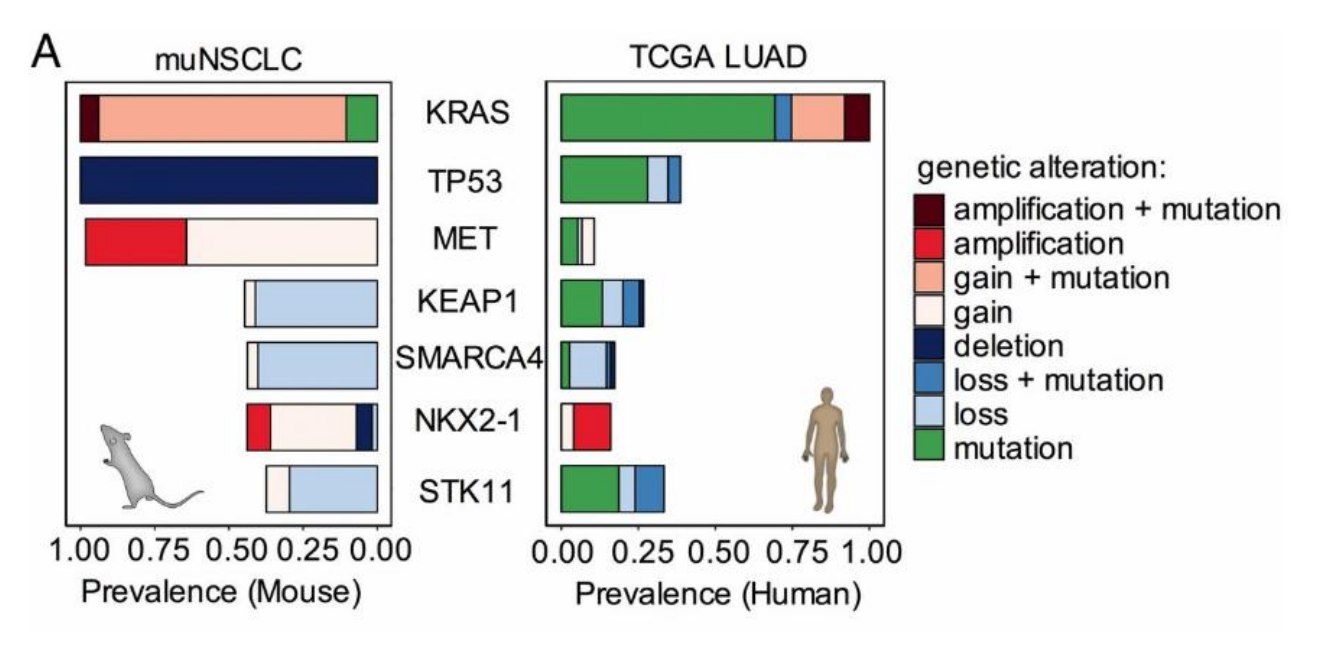


Первые ОМЖ формируются у мышей в возрасте 5-6 месяцев, средняя продолжительность жизни 9 месяцев.

KRAS мутантные генно-инженерные модели рака человека

Модель немелкоклеточного рака легкого (NSCLC) с индуцированной аденовирусом экспрессией KrasG12D и гомозиготного нокаута p53 (**KP**:Kras^{LSL.G12D/wt};p53^{frt/frt})

Две модели протоковых аденокарцином поджелудочной железы (PDAC) индуцированные Pdx1-управляемой экспрессией рекомбиназы с индукцией экспрессии KrasG12D с гетерозиготной утратой p16/p19 (Cdkn2a) в сочетании с мутацией p53 ($KPR:Kras^{LSL.G12D/wt}$; $p16/p19^{fl/wt}$; $p53^{LS}$ $^{L.R270H/wt}$;Pdx1.Cre) или с гомозиготной утратой p16/p19 (Cdkn2a) без мутации p53 ($KPP:Kras^{LSL.G12D/wt}$; $p16/p19^{fl/fl}$;Pdx1.Cre)



Мутации семейства RAS обнаружены при >80% локализаций рака, в большинстве случаев в KRAS

KPR и KPP мыши в возрасте 16 и 9 недель имеют 1-3 опухоли, соответственно.



Модели индуцируемых опухолей у крыс

Химический канцерогенез

Желудок: N-метил-N'-нитро-N-нитрозогуанидин

Толстая кишка: 1,2-диметилгидразин; N-нитрозометилмочевина

Молочная железа: N-нитрозометилмочевина

7,12-диметилбенз(а)антрацен

Печень: N-нитрозодиэтиламин

Почки: N-нитрозоетилмочевина трансплацентарно

Мочевой пузырь: N-бутил-нитрозобутиламин

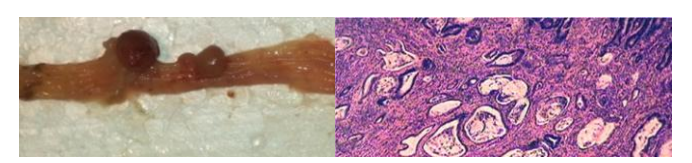
Нервная система: N-нитрозоетилмочевина трансплацентарно

Яичники: операция Бискиндов

Мягкие ткани: N-нитрозометилмочевина, диметилбензантрацен,

бензо(а)пирен

Простата: N-нитрозометилмочевина + андрогены



Канцерогенез толстой кишки (1,2-диметилгидразин)



Рис. 4. Рак ПЖ, макроскопический вид. А — нормальная ПЖ; В — рак дорсолатерального отдела; С — рак, поражающий все отдег D — рак передней допи

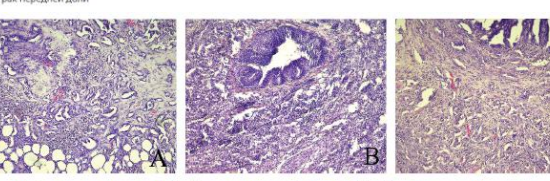


Рис. 6. Аденокарцинома ПЖ: А –вентральной доли ПЖ; В –дорсолатерального отдела; С–передней доли. Гематоксилин/эозин, ×270



Модели индуцируемых опухолей у мышей

Химический канцерогенез

Кожа: 7,12-диметилбензантрацен, бензо(а)пирен

+ 12-0-тетра-деканоилфорбол-13-ацетат

Подкожная клетчатка: 7,12-диметилбензантрацен, бензо(а)пирен

Легкие: уретан

Молочная железа: эстрогены

Шейка матки

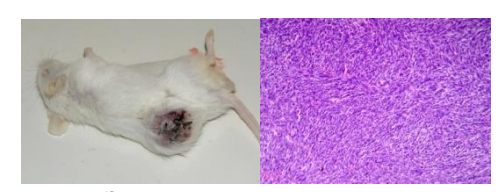
и влагалище: 7,12-диметилбензантрацен,

N-нитрозометилмочевина

Матка: 1,2-диметилгидразин



Папилломы кожи (ДМБА+ТФА)



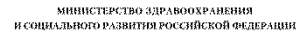
Злокачественные саркомы (бензо(а)пирен)

Методика определения антиканцерогенных свойств препаратов in vivo

Пособие для врачей

Составители: И.Г. Попович, М.А. Забежинский, В.Н. Анисимов

Санкт-Петербург – 2003 г.



ФЕДЕРАЛЬНОЕ ГОСУДАРСТВЕННОЕ БЮДЖЕТНОЕ УЧРЕЖДЕНИЕ
«НАУЧНЫЙ ЦЕНТР ЭКСПЕРТИЗЫ СРЕДСТВ МЕДИЦИНСКОГО ПРИМЕНЕНИЯ»

РУКОВОДСТВО ПО ПРОВЕДЕНИЮ ДОКЛИНИЧЕСКИХ ИССЛЕДОВАНИЙ ЛЕКАРСТВЕННЫХ СРЕДСТВ

Часть первая

Москва 2012

ГЛАВА 8

МЕТОДИЧЕСКИЕ РЕКОМЕНДАЦИИ ПО ДОКЛИНИЧЕСКОМУ ИССЛЕДОВАНИЮ КАНЦЕРОГЕННЫХ СВОЙСТВ ЛЕКАРСТВЕННЫХ СРЕДСТВ В ХРОНИЧЕСКИХ ИССЛЕДОВАНИЯХ НА ЖИВОТНЫХ

Составители: д. м. н., проф. Л.Н. Пылев; О.В. Смирнова; д. м. н., проф. Е.В. Арзамасцев; д. м. н., проф. В.Н. Анисимов; д. м. н., проф. Г.Б. Плисс; д. м. н., проф. М.А. Забежинский; д. м. н., проф. Г.Я. Липатов

Введение

Исследование потенциальной канцерогенной активности ЛС и фармакологических веществ (ФВ) на стадии разработки имеет много общего с методическими принципами изучения канцерогенности вообще химических веществ и биологических продуктов.

Имеющиеся отличия в подходах при исследовании канцерогенности химических веществ и ЛС состоят в необходимости учета при тестировании последних некоторых таких особенностей, как:

- назначение пациентам с различной патологией, включая генстические повреждения и гормональные нарушения;
- применение ЛС в фиксированных диапазонах доз и длительности введения (иногда пожизненно);
 - использование у людей различного возраста (включая детский и старческий);
 - назначение беременным и кормящим женщинам;
 - использование в качестве профилактических и косметических средств;
 - неконтролируемое применение при безрецептурном отпуске.

Необходимо разделение ЛС на принципиально новые, не имеющие химических аналогов; вновь синтезируемые в известных химических рядах; воспроизводимые; выделенные из растений; полученные биотехнологическими и генноинженерными методами.

Несмотря на ряд ограничений и критических замечаний, только хронические эксперименты на лабораторных животных остаются единственными для обоснованного заключения о канцерогенной опасности для человека ЛС.

В связи с возрастающими требованиями к безопасности ЛС на стадии их доклинического токсикологического изучения возникла необходимость пересмотра и уточнения некоторых положений «Методических рекомендаций по исследованию канцерогенных свойств фармакологических веществ» (1988, 2000, 2005 гг.).



Государственное санитарно-этидемпологическое нормирование Российской Федерации

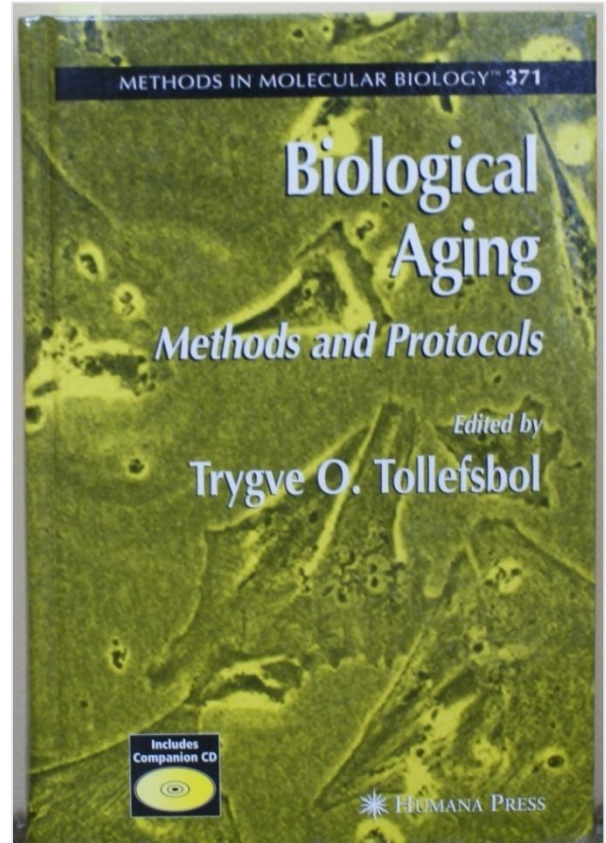
1.2. ГИГИЕНА, ТОКСИКОЛОГИЯ, САНИТАРИЯ

Исследование канцерогенных свойств химических веществ и биологических продуктов в хронических опытах на животных

> Методические рекомендации MP 1.2.0068—12

> > Издание официальное

Москева * 2012



From: Methods in Molecular Biology: Biological Aging: Methods and Protocols Edited by: T. O. Tollefsbol © Humana Press Inc., Totowa, NJ 2007

17

Methods of Evaluating the Effect of Pharmacological Drugs On Aging and Life Span in Mice

Vladimir N. Anisimov, Irina G. Popovich, and Mark A. Zabezhinski

Summary

The methodology of testing anti-aging drugs in laboratory mice is preser includes the selection of mouse strain, sex, age at start of treatment, housing condesign of the long-term study, some noninvasive methods of assessment, pathology ination, and statistical treatment of the results.

Chapter 12



Methods of Testing Pharmacological Drugs Effects on Aging and Life Span in Mice

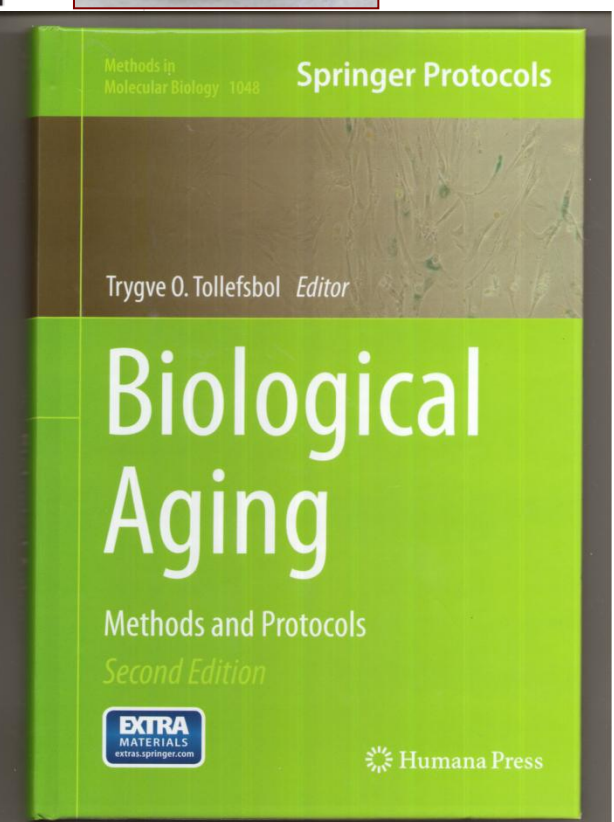
Vladimir N. Anisimov, Irina G. Popovich, and Mark A. Zabezhinski

Abstract

The methodology of testing antiaging drugs in laboratory mice is presented. It is based on more than 40-year-long authors' experience in the field and includes the selection of mouse strain, sex, age at start of

Trygve O. Tollefsbol (ed.), Biological Aging: Methods and Protocols, Methods in Molecular Biology, vol. 1048, DOI 10.1007/978-1-62703-556-9_12, © Springer Science+Business Media New York 2013





Исследуемые параметры:

Ежедневно: клинический осмотр

Еженедельно: животные пальпируются для выявления опухолей, могут

быть применены инструментальные методы исследования

Ежемесячно (или чаще):

- Вес тела
- Потребление корма и воды

Каждые три месяца:

- Эстральная функция
- Ректальная температура
- Поведенческие и психологические тесты
- Двигательная активность
- Физическая работоспособность

Postmortem:

- Патоморфологические исследования (частота развития опухолей)
- Продолжительность жизни, скорость старения
- Математическое моделирование

